

○九州大学 学生員 五嶺伸吾  
九州大学 正員 小坪清真  
九州大学 正員 園田敏矢

## 1) まえがき

軟弱地盤中に築造されるケーソンや建築物などの重量構造物は地震時に水平並進振動と水平轉まわりの回転振動との連成するロッキング振動を行う。これらの構造物が杭で支持されている場合にはロッキング振動性状を解析するために杭頭の水平方向および鉛直方向復元力の特性を明確にする必要がある。復元力特性の群杭効果については水平方向に対しては多くの研究が見受けられるが、鉛直方向に対しては見当たりない。本研究では鉛直方向復元力の群杭効果について、模型実験を行うとともに理論的に解析して両者を比較した。

### 2) 実験装置および方法

実験に使用した杭は図-1に示すように、上下端を固定した外径 $12\text{ mm}$ 、長さ $400\text{ mm}$ のベークライトチューブを4本および9本の組杭にしたもので、側面の摩擦係数を増すために、細砂をニカワでチューブ側面に吹きつけたものである。杭間隔は縦横等間隔として4本杭に対しては杭間隔を $36, 72, 108, 132\text{ mm}$ の4通り、9本杭に対しては杭間隔を $18, 36, 54, 66\text{ mm}$ の4通りとした。この杭を $2.5\text{ m} \times 1.5\text{ m} \times 1\text{ m}$ の振動箱の中央に設置し、乾燥砂を入れ、地表面の加速度を $200\text{ gal}$ 、振動数 $10\text{ Hz}$ で約50分間振動して締め固め梁 $90\text{ cm}$ の砂地盤を作った。次に図-2に示すように杭頭頂板上にロードセルを介してジャッキをセットし、図-3に示すように頂板の4隅にフルスケール $0.25\text{ mm}$ の差動型変位計を取りつけ、鉛直荷重と杭頭の沈下量との関係を荷重を徐々に上げながら、オシロに記録した。最大荷重を $20\text{ kg}$ とし、同様の実験を1つの杭間隔に対して4へ5回繰り返した。

### 3) 実験結果

図-4,5>は4本杭および9本杭に舟し2杭間隔を変えた場合の荷重と変位との関係を示したものである。図から本実験の荷重の範囲では荷重と変位は比例し、杭側面には滑りを生じていたことがわかる。この直線の勾配から杭頭反力係数を求め、それを杭間隔  $l$  と杭径  $d$  の比  $l/d$  を横軸にとり、群杭効果を求めた。実験値と理論値との比較を図-6>に示す。図より、4本杭より9本杭が群杭効果は大きくなり、理論値より実験値が群杭効果は小さくなつた。

群杭効果を表わすのに、一般に次の2種類の異った表現が用いられる。  
(1) 单杭下り群杭に単位の変位を生じさせに必要な力をそれを  $Q$ 、 $Q_N$  とし  
群杭の杭本数を  $n$  とすれば、群杭効果は(1)式のようになる。

$$e_n = -\frac{Q_n}{N Q_s} \quad (1)$$

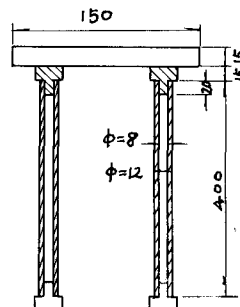
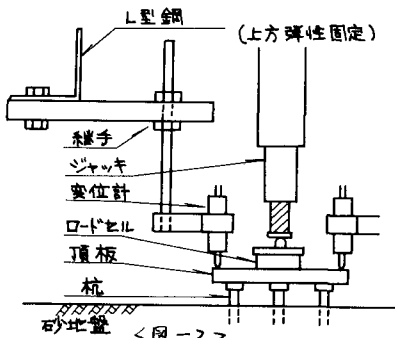
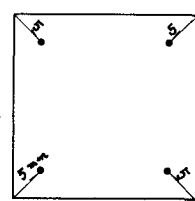


图-1



砂地盤 <図-2>



•: 変位計の位置  
図-3

(ii) 桁に単位の力を加えたときの単杭と群杭のそれぞれの変位を  $\delta_0$ ,  $\delta_N$  とすれば,  $e_N = \delta_0 / N \delta_N$  (2)

によることで群杭効果を表わすことができる。本論文では(i)の方法を用いた。

#### 4) 理論

軸対称地盤の振動の式は次式で表わされる。

$$\frac{\rho}{g} \frac{\partial^2 u}{\partial t^2} = (\lambda + 2\mu) \frac{\partial \Delta}{\partial r} + 2\mu \frac{\partial w_0}{\partial z} \quad (3)$$

$$\frac{\rho}{g} \frac{\partial^2 w}{\partial t^2} = (\lambda + 2\mu) \frac{\partial \Delta}{\partial z} - \frac{2\mu}{r} \frac{\partial(rw_0)}{\partial r} \quad (4)$$

$$\text{ここで } \Delta = \frac{1}{r} \frac{\partial}{\partial r}(rw_0) + \frac{\partial w}{\partial z}, w_0 = \frac{1}{2} \left( \frac{\partial u}{\partial z} - \frac{\partial w}{\partial r} \right)$$

$u$ ,  $w$  は  $r$ ,  $z$  方向の変位,  $\Delta$ ,  $\mu$  はラーメンの定数

#### 2) 地盤変形の近似解

半径方向変位  $w$  を無視し,  $w = 0$  とおく。これは地盤を実際より硬

く評価することになる。(4)式より,

$$\frac{\partial^2 w}{\partial r^2} + \frac{1}{r} \frac{\partial w}{\partial r} + \frac{\lambda + 2\mu}{\mu} \frac{\partial^2 w}{\partial z^2} - \frac{\rho}{g} \frac{\partial^2 w}{\partial z^2} = 0 \quad (5)$$

となる。  $z$  方向の変形をフーリエ級数で展開し, (5)式を解くと(6)式のようになる。

$$w = \sum_{n=1,3,5, \dots}^{\infty} A_n K_0(k_n r) \sin \frac{n\pi z}{2H} e^{ipt} \quad (6)$$

$K_0$ : 変形 Bessel 関数

$$k_n = \sqrt{\frac{\lambda + 2\mu}{\mu} \left( \frac{n\pi}{2H} \right)^2 - \frac{\rho}{g\mu}}$$

$w_0$ : 桁の単位重量  $E$ : ヤング率

$A$ : 桁の断面積  $H$ : 桁長

$f_1(z)$ : 桁に働く軸方向外力

$f_2(z)$ : 桁周面地盤反力

$G$ : 地盤の剛性率

$P$ : 外力の角速度

次に杭の縦振動の式は次式で示される。

$$\frac{w_0 A}{g} \frac{\partial^2 y}{\partial t^2} = EA \frac{\partial^2 y}{\partial z^2} + f_1(z) + f_2(z) \quad (7)$$

ここで  $f_1(z)$  と  $f_2(z)$  の級数に展開する。 $f_1(z)$  は杭頭に働くヒンジ

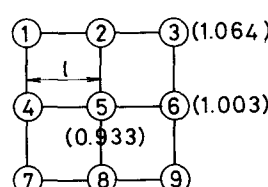
$$f_1(z) = \sum_{n=1,3,5}^{\infty} \frac{2P}{H} (-1)^{\frac{n-1}{2}} \sin \frac{n\pi z}{2H} e^{ipt} \quad (8)$$

又,  $f_2(z)$  は次式で示される。

$$f_2(z) = \pi \frac{d}{r} G \left( \frac{\partial w}{\partial r} \right)_{r=r_0} \quad (9)$$

(6)(7)を用いて  $N$  本の杭頭が同一変形をするものとして杭頭変位は次式となる。

$$y = \frac{PH}{EA} \frac{8}{\pi^2} \sum_{n=1,3,5}^{\infty} \frac{\{ K_0(k_n r_0) + \sum_{l=1}^{N-1} K_0(k_n r_l) \} e^{ipt}}{\left[ \left\{ n^2 - \frac{4w_0 H^2}{\pi^2 g E} P^2 \right\} \{ K_0(k_n r_0) + \sum_{l=1}^{N-1} K_0(k_n r_l) \} \right. \\ \left. + \frac{8GH^2}{\pi^2 EA} k_n r_0 \{ K_1(k_n r_0) - \sum_{l=1}^{N-1} K_1(k_n r_l) \} \right]} \quad (10)$$



又、任意配列群杭の場合の荷重分担率を理論的に求めることができる。

9本杭  $1/d = 9.0$  の場合の荷重分担率を右図に示す。

図-7 荷重分担率